

Πολυτεχνείο Κρήτης

Σχολή ΗΜΜΥ

Τηλεπικοινωνιακά Συστήματα Ι

Παράδοση 2ης εργασίας

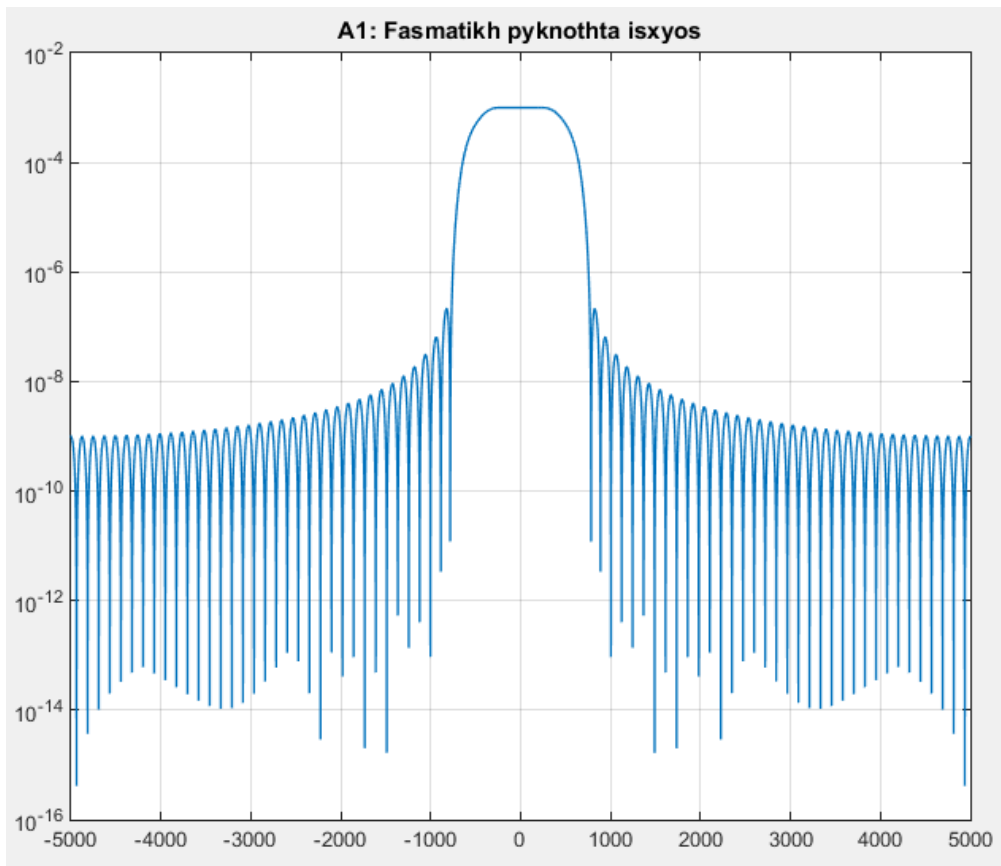
Ημερομηνία Παράδοσης: 6 Δεκεμβρίου 2021

Μονάδες 130/1000

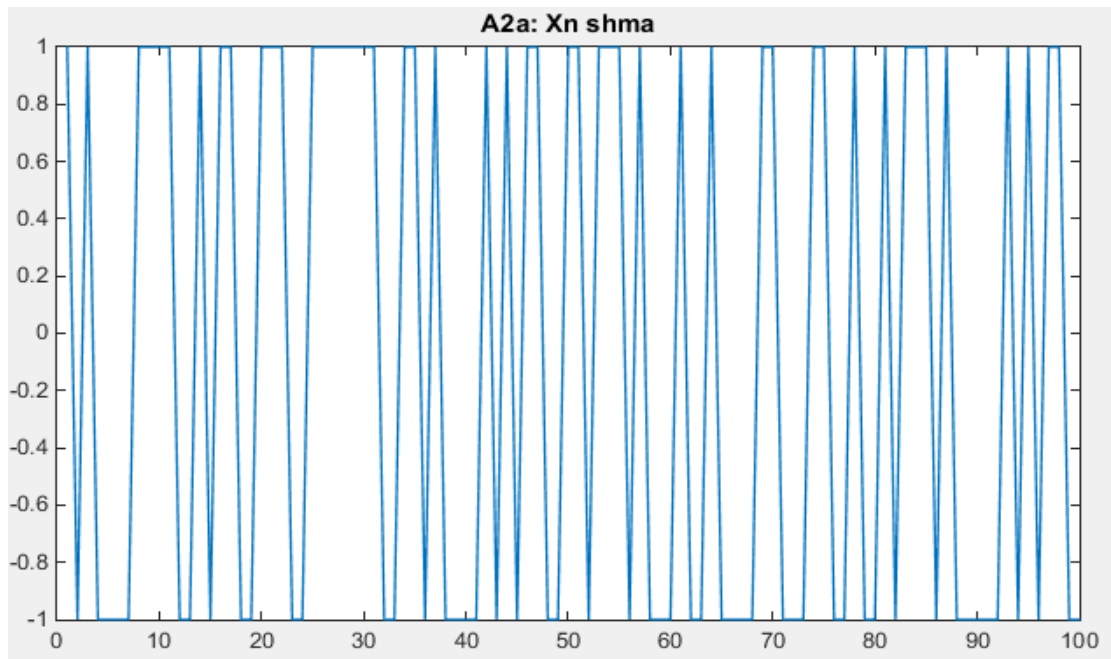
Επώνυμο	Παυλόπουλος
Όνομα	Χρήστος
ΑΜ	2018030139

Επιλέχθηκε αρκετά μεγάλο  $N_f$  (σ.σ. 16384) ώστε να μην υπάρχουν παραμορφώσεις στις φασματικές πυκνότητες ισχύος.

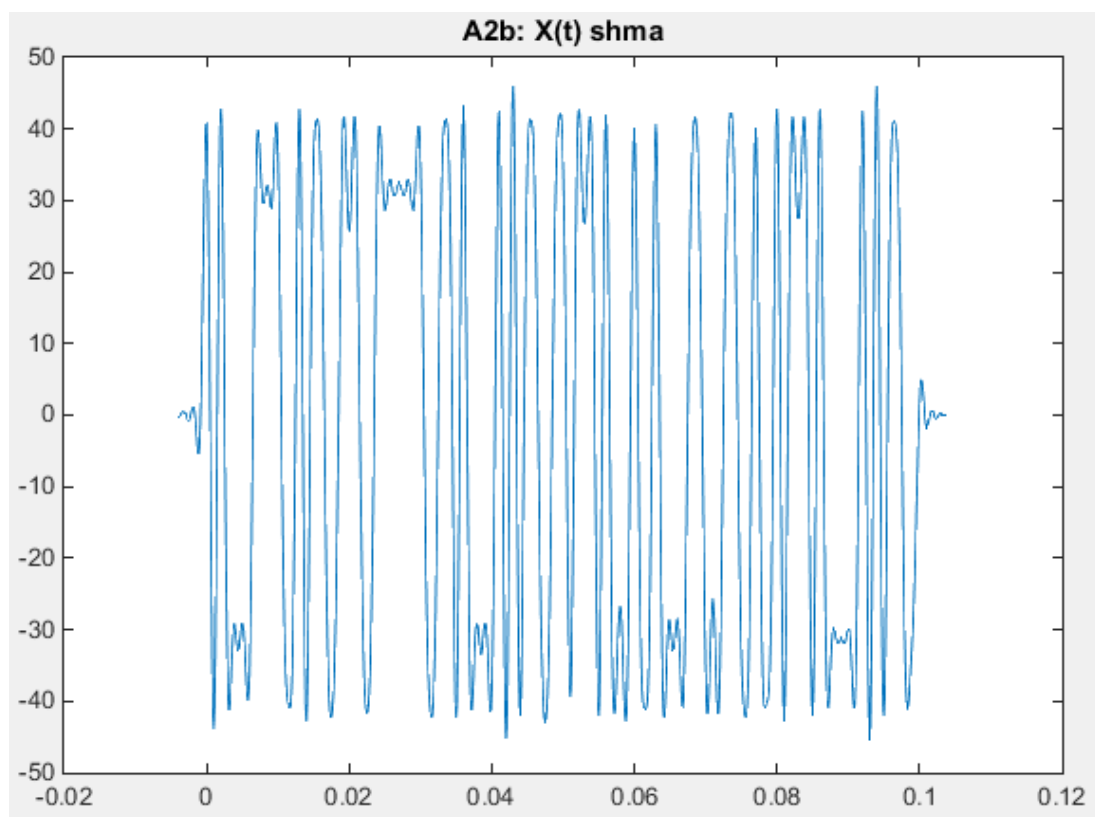
**A.1)** Δημιουργήθηκε παλμός SRRC με τα δεδομένα που δόθηκαν. Μέσω της `fftshift` και `fft` παράχθηκε ο μετασχηματισμός Fourier της  $\phi(t)$  και σχεδιάστηκε η φασματική πυκνότητα ενέργειας  $|\phi(F)|^2$  με την εντολή `semilogy`.



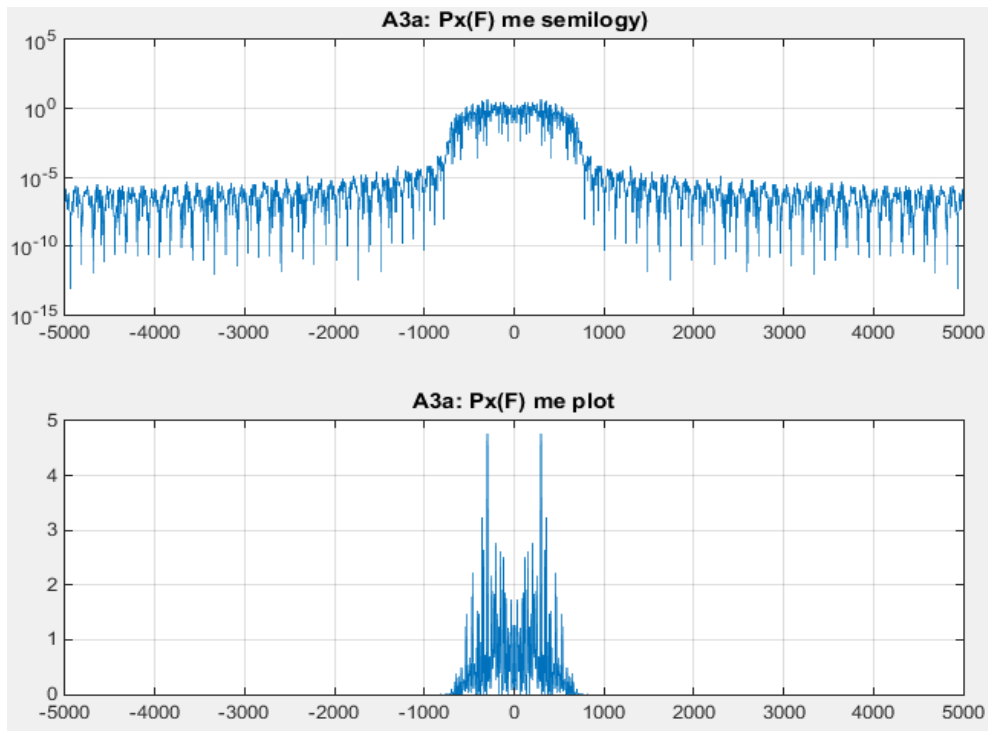
**A.2)** Δημιουργήθηκε ακολουθία  $N=100$  ισοπιθανών και ανεξάρτητων bits και χρησιμοποιώντας την συνάρτηση `bits_to_2PAM` μετατράπηκαν σε 2PAM σύμβολα και απεικονίστηκαν παρακάτω.



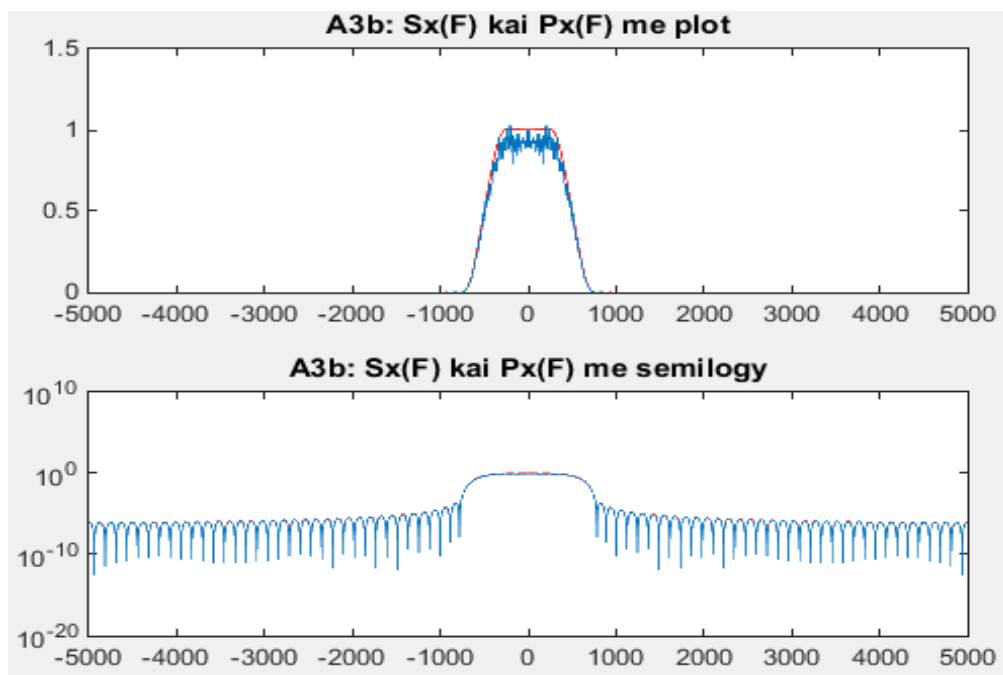
Έπειτα δημιουργήθηκε και σχεδιάστηκε το σήμα  $X(t)$  που αποτελεί την συνέλιξη του  $X(nT_s)$  και  $\phi(t)$ . Το σήμα  $X(nT_s)$  λαμβάνεται με την χρήση του `upsample` στο σήμα  $X_n$ .



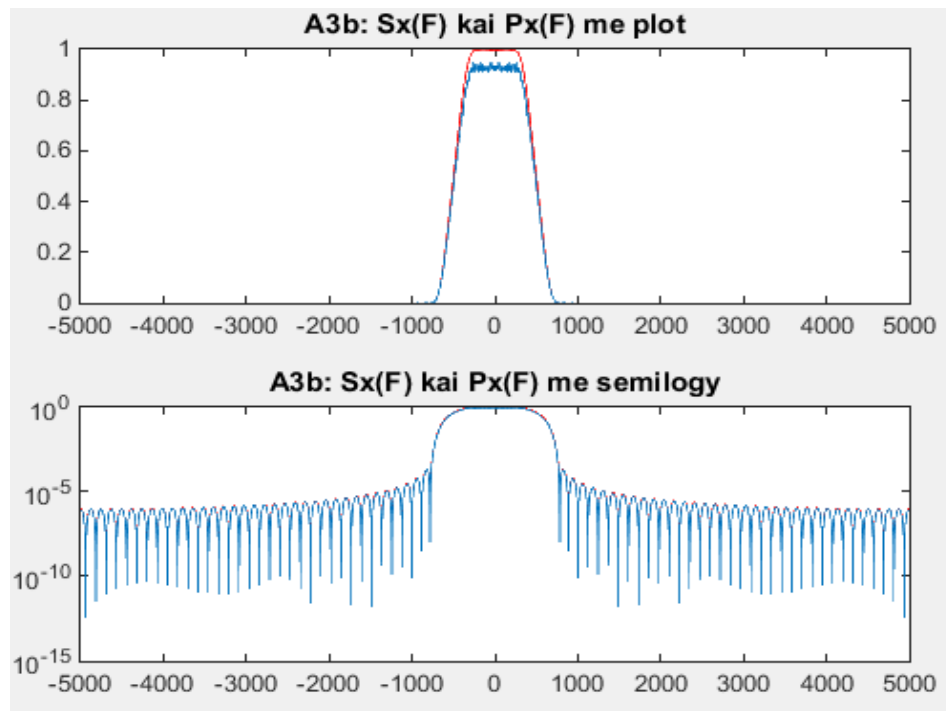
**A.3)** Ορίστηκε το  $T_{total}$  και υπολογίστηκε ο μετασχηματισμός Fourier του  $X(t)$  και το περιοδόγραμμα  $P_x(F)$ . Σχεδιάστηκε το  $P_x(F)$  πρώτα με plot και ύστερα με semilogy.



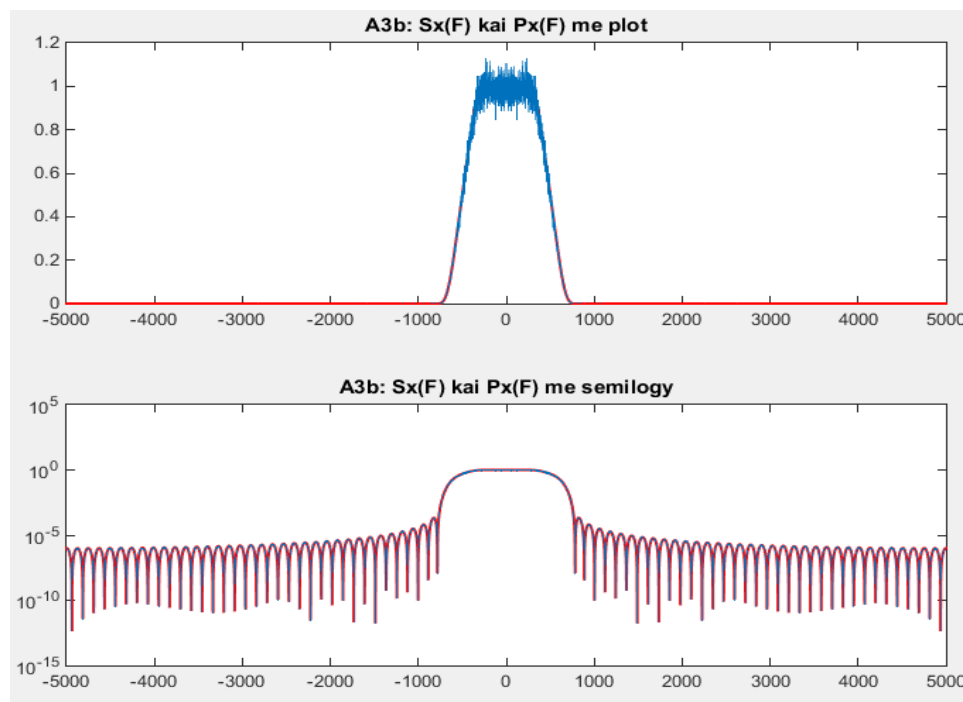
Μέσα σε μία for δημιουργούμε  $K$  υλοποιήσεις περιοδογραμμάτων εκτελώντας ξανά όλη τη διαδικασία που ακολουθήθηκε στα προηγούμενα ερωτήματα για να κατασκευαστεί το περιοδόγραμμα  $P_x(F)$ . Σε μεταβλητή αποθηκεύουμε την εκτίμηση της φασματικής πυκνότητας ισχύος. Για την θεωρητική φασματική πυκνότητα ισχύος χρησιμοποιήθηκε ο τύπος της  $S_x(F)$ . Τα  $P_{av}$  και  $S_x(F)$  με plot και semilogy:



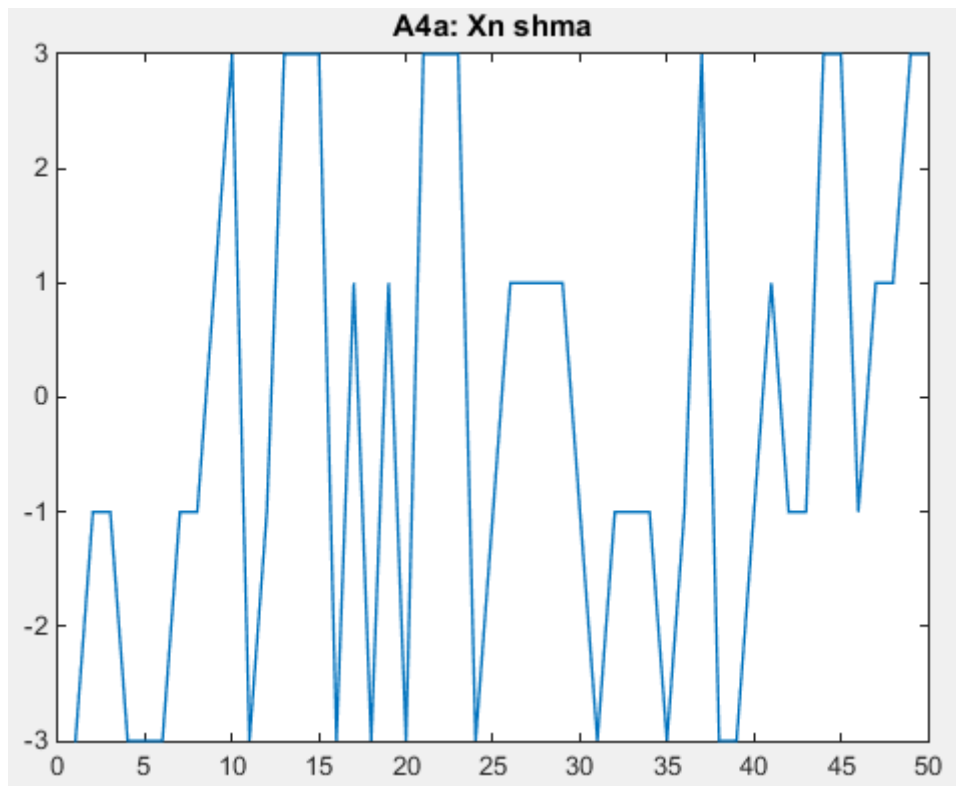
Αυξήθηκε το  $K$  από 500 σε 10000 και παρατηρήθηκε πως το  $P_{\text{αν}}$  παρουσιάζει μεγαλύτερες ομοιότητες σχηματικά με τον θεωρητικό υπολογισμό της  $P_x(F)$ . Αυτό είναι αναμενόμενο καθώς περισσότερα δείγματα ισοδυναμούν σε μεγαλύτερη ακρίβεια και λιγότερες διακυμάνσεις.



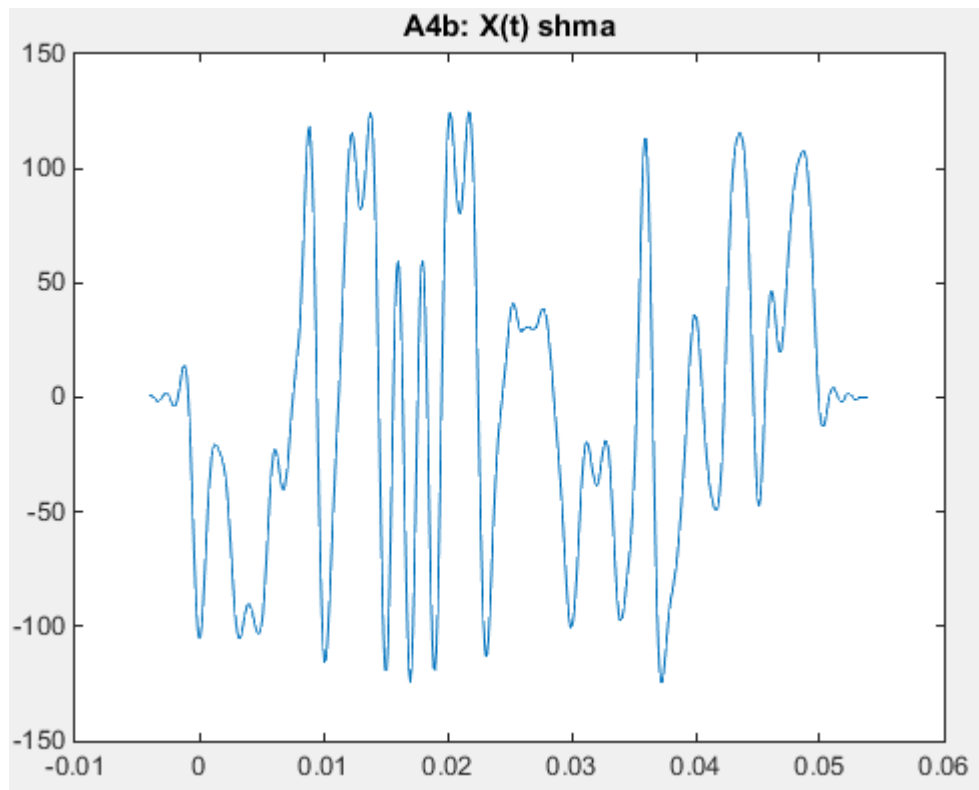
Αυξήθηκε το  $N$  σε 1000 ενώ το  $K$  επέστρεψε στην αρχική του τιμή. Παρατηρείται πως ξανά το  $P_{\text{αν}}$  και το  $P_x(F)$  παρουσιάζουν μικρότερες διακυμάνσεις κάτι που είναι αναμενόμενο καθώς απεικονίζονται περισσότερα bits που σημαίνει μείωση σφαλμάτων.



**A.4)** Δημιουργήθηκε η συνάρτηση bits\_to\_4PAM και σχεδιάστηκε με plot σε διάστημα  $[0, N/2 - 1]$



Ύστερα, με την διαδικασία που ακολουθήθηκε στο ερώτημα A2 κατασκευάστηκε το σήμα  $X(t)$ .



Αρχικά υπολογίστηκε η μέση τιμή. Σε όμοια ισοπίθανα σύμβολα ισχύει:

$$P_X(X=1) = P_X(X=-1) = P_X(X=3) = P_X(X=-3) = 1/4$$

Έτσι έχουμε,

$$E(X_n) = \sum_x x^2 p_x = (1) \cdot 1/4 + (-1) \cdot 1/4 + (3) \cdot 1/4 + (-3) \cdot 1/4 = 0$$

Υπολογισμός της διασποράς:

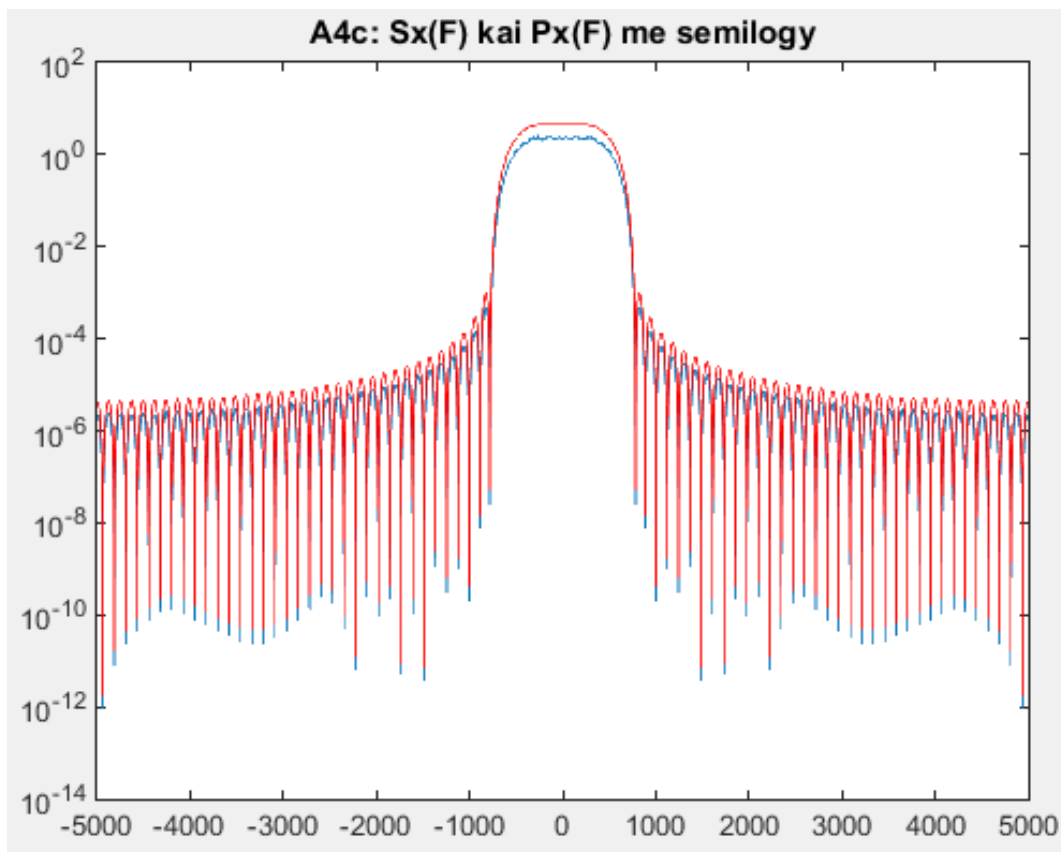
$$\sigma_x^2 = E[(X_n - E(X_n))^2] = E[X_n^2] = 5$$

$$\text{Διότι, } E[X_n^2] = \sum_x x^2 p_x = (1)^2 \cdot 1/4 + (-1)^2 \cdot 1/4 + (3)^2 \cdot 1/4 + (-3)^2 \cdot 1/4 = 5$$

Έτσι η φασματική πυκνότητα ισχύος ισούται με:

$$S_x(F) = \frac{\sigma_x^2}{T} |\phi(F)|^2 = \frac{5}{10^{-3}} |\phi(F)|^2 = 5000 |\phi(F)|^2$$

Όπως και στο A3 υπολογίστηκε η πειραματική και θεωρητική φασματική πυκνότητα ισχύος με semilogy.



Παρατηρείται πως η απόκλιση κατά την ακολουθία 4PAM  $X_n$  είναι αρκετά μεγαλύτερη της απόκλισης κατά την 2PAM  $X_n$ . Το εύρος φάσματος της φασματικής πυκνότητας ισχύος των δυο ακολουθιών δεν αλλάζει καθώς η περίοδος παραμένει ίδια, ωστόσο το πλάτος στην μέγιστή του τιμή είναι αρκετά μεγαλύτερο στην ακολουθία 4PAM γεγονός που οφείλεται στην μεγαλύτερη διασπορά του 4PAM.

**A.5)** Επαναλαμβάνεται το ερώτημα A3 αλλά με  $T' = 2T$  και  $\text{over}' = 2\text{over}$ .

Υπολογίστηκε η μέση τιμή. Σε όμοια ισοπίθανα σύμβολα ισχύει:

$$P_X(X=1) = P_X(X=-1) = 1/2$$

Έτσι έχουμε,

$$E(X_n) = \sum_x x^2 p_x = (1) \cdot 1/2 + (-1) \cdot 1/2 = 0$$

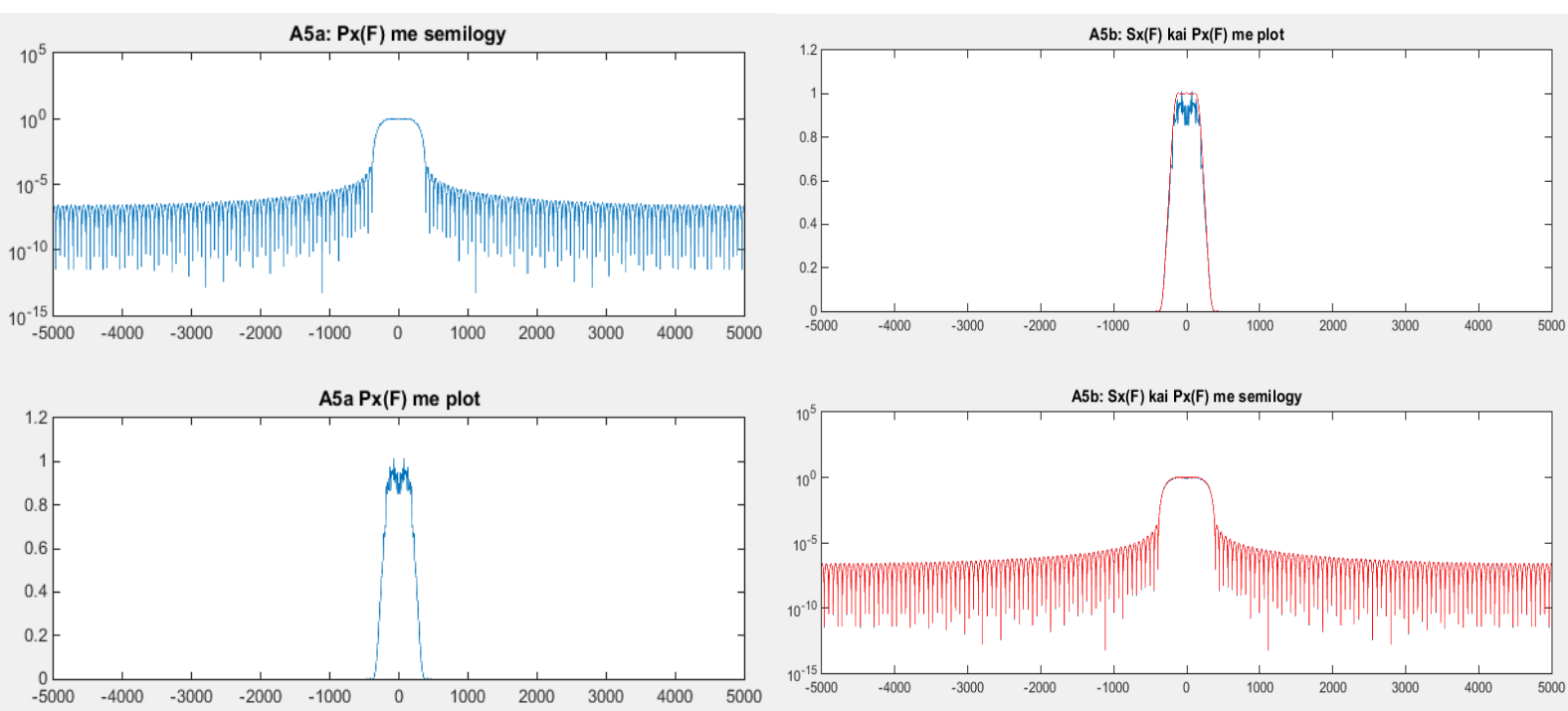
Υπολογισμός της διασποράς:

$$\sigma_x^2 = E[(X_n - E(X_n))^2] = E[X_n^2] = 1$$

$$\text{Διότι, } E[X_n^2] = \sum_x x^2 p_x = (1)^2 \cdot 1/4 + (-1)^2 \cdot 1/4 = 1$$

Έτσι η φασματική πυκνότητα ισχύος ισούται με:

$$S_x(F) = \frac{\sigma_x^2}{T} |\phi(F)|^2 = \frac{1}{2 \cdot 10^{-3}} |\phi(F)|^2 = 500 |\phi(F)|^2$$



Το εύρος φάσματος των κυματομορφών σε αυτή την περίπτωση υποδιπλασιάζεται (περίπου 380 έναντι περίπου 750 στο A3). Το αποτέλεσμα είναι λογικό και επιβεβαιώνεται από τον θεωρητικό τρόπο υπολογισμού του φάσματος  $BW = \frac{a+1}{T}$

**A.6)** Με σταθερό εύρος φάσματος μεγαλύτερη ταχύτητα επιτυγχάνεται με την 4PAM απεικόνιση καθότι μετατρέπονται δυο bits σε ένα σύμβολο και έτσι η ακολουθία των bits θα μετατραπεί γρηγορότερα (στον μισό χρόνο).

Για ακριβό εύρος φάσματος θα επιλέγαμε την μεγαλύτερη περίοδο (άρα  $2T$ ) διότι με αυτή θα είχαμε το μικρότερο εύρος φάσματος. ( $W$ ,  $T$  αντιστρόφως ανάλογα).

## **B Μέρος**

### **B.1) α)**

Αρχικά, υπολογίζεται η μέση τιμή του  $Y(t)$   $E[Y(t)] = E[X(t) * \cos(2\pi f_0 t + \theta)]$

Η μεταβλητή  $\theta$  είναι ανεξάρτητη άρα έχουμε  $E[Y(t)] = E[X(t)] * E[\cos(2\pi f_0 t + \theta)]$

Από την συνάρτηση πυκνότητας πιθανότητας της ομοιόμορφης κατανομής έχουμε:

$$F_{\theta}(t)(\theta) = \begin{cases} \frac{1}{2\pi} & \text{αν } \theta \in [0, 2\pi] \\ 0 & \text{αλλού} \end{cases}$$

$$\text{Άρα, } E[\cos(2\pi f_0 t + \theta)] = \int (\cos(2\pi f_0 t + \theta) F_{\theta}(t)(\theta) d\theta) = \int_0^{2\pi} (\frac{1}{2\pi} \cos(2\pi f_0 t + \theta) d\theta)$$

Αφού  $\sin(0) = \sin(2\pi) = 0$  έχουμε πως  $E[Y(t)] = 0$

### **β)**

$$E[Y(t+\tau) Y(t)] = E[X(t+\tau) \cos(2\pi f_0(t + \tau) + \Theta) X(t) \cos(2\pi f_0 t + \Theta)]$$

Η μεταβλητή  $\theta$  είναι ανεξάρτητη του  $X_n$  άρα θα είναι ανεξάρτητη και του  $X(t)$  άρα:

$$\begin{aligned} E[Y(t+\tau) Y(t)] &= E[X(t+\tau) \cos(2\pi f_0(t + \tau) + \Theta) X(t) \cos(2\pi f_0 t + \Theta)] = \\ &= R_{xx}(t+\tau, t) E\left[ \frac{1}{2} (\cos(2\pi f_0(t+\tau)+\Theta) - \cos(2\pi f_0 t - \Theta)) + \cos(2\pi f_0(t+\tau)+\Theta) \cos(2\pi f_0 t + \Theta) \right] = \\ &= R_{xx}(t + \tau, t) \frac{1}{2} (\cos(2\pi f_0 \tau) + E[\cos(2\pi f_0(2t + \tau) + 2\Theta)]) \\ &= \frac{1}{2} R_{xx}(t + \tau, t) \cos(2\pi f_0 \tau) \end{aligned}$$

$$\text{Άρα } R_{YY}(t + \tau, t) = E[Y(t + \tau) Y(t)] = \frac{1}{2} R_{xx}(t + \tau, t) \cos(2\pi f_0 \tau)$$

Επίσης,

$$\begin{aligned} R_{xx}(t + \tau, t) &= E[X(t + \tau) X(t)] = E\left[ \sum_{n=0}^{\infty} (X_n \Phi(t + \tau - nT)) \sum_{n=0}^{\infty} (X_n \Phi(t - nT)) \right] = \\ &= \left[ \sum_{n=0}^{\infty} E((X_n \Phi(t + \tau - nT)) (X_n \Phi(t - nT))) \right] = \end{aligned}$$



$$\begin{aligned}
&= E[X_n^2] \sum_{n=0}^{\infty} [(\Phi(t + \tau - nT))(\Phi(t - nT))] = \\
&= \sigma_x^2 \sum_{n=0}^{\infty} [(\Phi(t + \tau - nT))(\Phi(t - nT))] = \\
&= R_{xx}(t + \tau + T, t + T)
\end{aligned}$$

**B.2)** Γνωρίζουμε για την  $Y(t)$  πως:

1.  $E[Y(t)] = 0$
2. Η συνάρτηση αυτοσυσχέτισης  $R_{YY}(t + \tau, t)$  εξαρτάται μόνο από τη διαφορά  $\tau = t_1 - t_2$ . Επομένως, η  $Y(t)$  είναι στάσιμη υπό την ευρεία έννοια.

Επίσης:

3.  $E[Y(t+T)] = E[X(t+T)]E[\cos(2\pi f_0(t+T) + \theta)] = E[X(t+T)] \cdot 0 =$   
 $E[\cos(2\pi f_0(t+T) + \theta)] = \int_{-\infty}^{\infty} \cos(2\pi f_0(t+T) + \theta) F_{\theta}(t)(\theta) d\theta =$   
 $= \int_{-\infty}^{\infty} \frac{1}{2\pi} \cos(2\pi f_0(t+T) + \theta) d\theta = 0$

4. Η συνάρτηση αυτοσυσχέτισης  $R_{YY}(t + \tau + T, t + T)$  εξαρτάται μόνο από τη διαφορά  $\tau = t_1 - t_2$  γιατί:

$$R_{YY}(t + \tau + T, t + T) = 1/2 R_{QQ}(t + \tau + T, t + T) \cos(2\pi f_0 \tau)$$

$$R_{YY}(t + \tau + T, t + T) = 1/2 \cos(2\pi f_0 \tau) * R_{xx}(t + \tau, t) \quad (\text{από B1}\beta)$$

Άρα η  $Y(t)$  είναι κυκλοστάσιμη υπό την ευρεία έννοια

**B.3)** Η  $Y(t)$  είναι κυκλοστάσιμη με περίοδο  $T$  άρα η φασματική πυκνότητα ισχύος της δίνεται από τον τύπο  $S_Y(F) = F(\bar{R}_Y(\tau))$

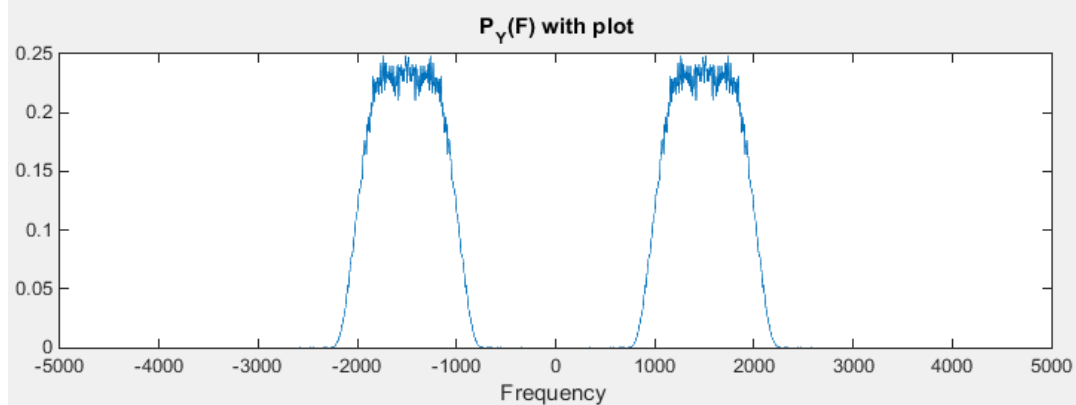
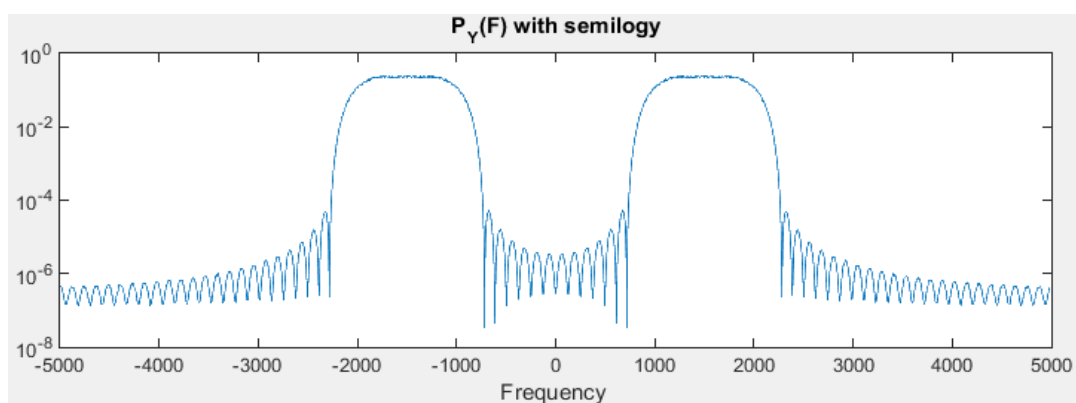
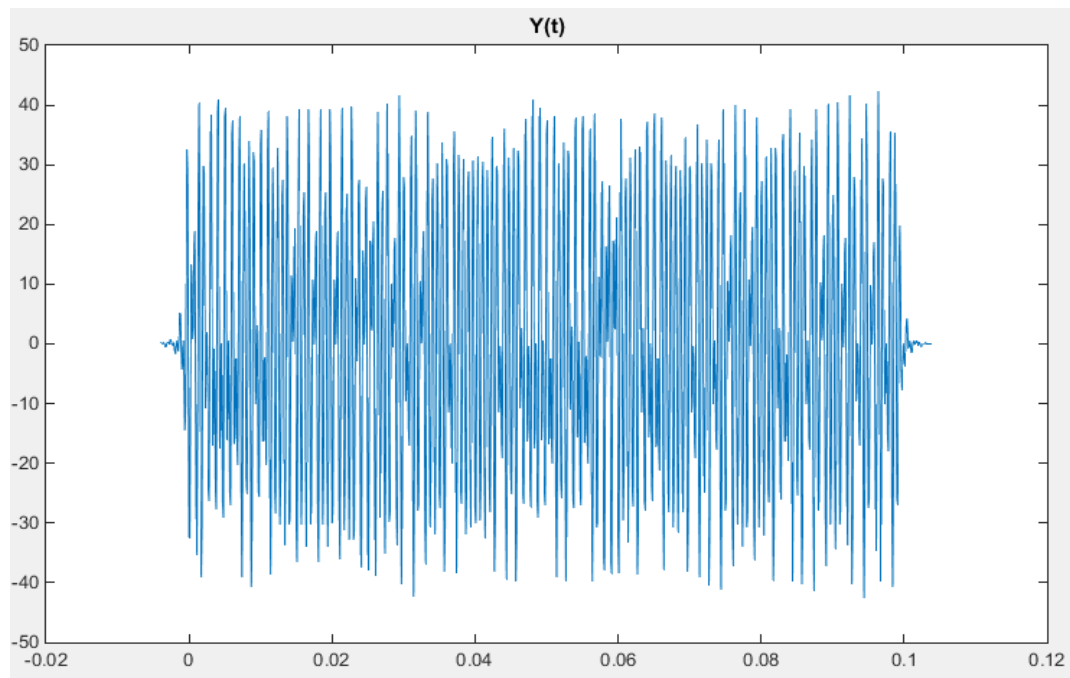
$$\begin{aligned}
\bar{R}_{YY}(\tau) &= \frac{1}{T} \int_T R_{YY}(t + \tau, t) dt = \\
&= \frac{1}{T} \int_T R_{YY}(t + \tau, t) \frac{1}{2} \cos(2\pi f_0 \tau) d\tau = \\
&= \frac{1}{2T} \cos(2\pi f_0 \tau) \int_T R_{xx}(t + \tau, t) d\tau = \\
&= \frac{1}{2} \cos(2\pi f_0 \tau) \bar{R}_x(\tau)
\end{aligned}$$

Χρησιμοποιούμε την ιδιότητα για μετασχηματισμό Fourier για το συνημίτονο  $\cos(2\pi f_0 t) \rightarrow 1/2 (\delta(F - f_0) + \delta(F + f_0))$

Άρα,

$$S_Y(F) = F\{\bar{R}_Y(\tau)\} = 1/2 F\{\cos(2\pi f_0 \tau) R_x(\tau)\} = 1/4 S_x(F + f_0) + 1/4 S_x(F - f_0)$$

**B.4)** Κατασκευάστηκε το διάνυσμα του χρόνου και το σήμα  $Y(t)$  για τυχαία συχνότητα  $f=1500\text{Hz}$  [ $500 < f < 4500$ ], τυχαία μεταβλητή  $\Theta$  ομοιόμορφα κατανοημένη στο  $[0, 2\pi]$  και ύστερα υπολογίστηκε η φασματική πυκνότητα ισχύος με plot και semilogy για  $K=1000$  δείγματα



Παρατηρώ πως το σήμα που προκύπτει από τον σχεδιασμό της φασματικής πυκνότητας ισχύος παρουσιάζεται δύο φορές. Αυτό γίνεται διότι το συνημίτονο στον τύπο της  $Y(t)$  όταν μετασχηματίζεται στο πεδίο της συχνότητας δίνει δύο σήματα με μετατόπιση 1500Hz αριστερά και 1500Hz δεξιά.

Τέλος.

## ΚΩΔΙΚΑΣ MATLAB

```
close all; clear all; clc;

%erotima a1
%metavlites
T = 1/1000;
over=10;
A=4;
a=0.5;
Ts=T/over;
Fs=1/Ts;
Nf=16384;
N=1000;

numfig=1;
figure(numfig);

%create srrc pulse
[phi, t] = srrc_pulse(T, over, A, a);

%fourier transform
phi_f=fftshift(fft(phi,Nf));
Phi_f=phi_f*Ts;

%frequency axis
f_axis=[-0.5:1/Nf:0.5-1/Nf];
F_axis=Fs*f_axis;

%fasmatikh pyknothta isxyos
semilogy(F_axis,abs(Phi_f).^2, 'LineWidth', 1)
title('A1: Fasmatickh pyknothta energeias');
grid on;

%erotima A2
b=(sign(randn(N,1))+1)/2;

xn=bits_to_2PAM(b);
numfig=numfig+1;
figure(numfig);
plot(xn,'LineWidth', 1);
title('A2a: Xn shma');
```

```

xd=1/Ts * upsample(xn,over);
td=0:Ts:N*T-Ts;

xt=Ts*conv(xd,phi);
t_conv=[t(1)+td(1):Ts:t(end)+td(end)];
numfig=numfig+1;
figure(numfig);
plot(t_conv,xt);
title('A2b: X(t) shma');

%erotima a3

Ttotal=t_conv(end)-t_conv(1);

%fourier transform of xt
xf=fftshift(fft(xt,Nf));
Xf=xf*Ts;

Px=(abs(Xf).^2)/Ttotal;

numfig=numfig+1;
figure(numfig);
subplot(2,1,1);
semilogy(F_axis,Px);
title('A3a: Px(F) me semilogy')
grid on;

subplot(2,1,2);
plot(F_axis,Px);
title('A3a: Px(F) me plot');
grid on;

%erotima A3b
P=0;
kk=500;

for i=1:1:kk
    b=(sign(randn(N,1))+1)/2;
    xn=bits_to_2PAM(b);
    xd=1/Ts * upsample(xn,over);
    xt=Ts*conv(xd,phi);
    xf=fftshift(fft(xt,Nf));
    Xf=xf*Ts;
    Px=(abs(Xf).^2)/Ttotal;
    P=P+Px;
    if i==kk
        Pav=P/kk;
    end
end

sx=(var(xn)/T)*(abs(Phi_f.^2));

numfig=numfig+1;
figure(numfig);
subplot(2,1,1);
plot(F_axis,sx,'r');
hold on
plot(F_axis,Pav);

```

```

hold off
title('A3b: Sx(F) kai Px(F) me plot');

subplot(2,1,2);
semilogy(F_axis,sx,'r');
hold on
semilogy(F_axis,Pav);
hold off
title('A3b: Sx(F) kai Px(F) me semilogy');

%erotima A4
%A4a
b2=(sign(randn(N/2, 2))+1)/2;

%xn shma
xn2=bits_to_4PAM(b2);

%plot xn
numfig=numfig+1;
figure(numfig);
plot(xn2,'LineWidth', 1);
title('A4a: Xn shma');

%A4b
xd2=1/Ts * upsample(xn2,over);
td2=0:Ts:N*T/2-Ts;

xt2=Ts*conv(xd2,phi);
t_conv2=[t(1)+td2(1):Ts:t(end)+td2(end)];
numfig=numfig+1;
figure(numfig);
plot(t_conv2,xt2);
title('A4b: X(t) shma')

%A4c
P2=0;

for i=1:1:kk
    b2=(sign(randn(N/2,2))+1)/2;
    xn2=bits_to_4PAM(b2);
    xd2=1/Ts * upsample(xn2,over);
    xt2=Ts*conv(xd2,phi);
    xf2=fftshift(fft(xt2,Nf));
    Xf2=xf2*Ts;
    Px2=(abs(Xf2).^2)/Ttotal;
    P2=P2+Px2;
    if i==kk
        Pav2=P2/kk;
    end
end

sx2=(var(xn2)/T)*(abs(Phi_f.^2));
numfig=numfig+1;
figure(numfig);
semilogy(F_axis, Pav2);
hold on
semilogy(F_axis, sx2, 'r');
hold off

```

```

title('A4c: Sx(F) kai Px(F) me semilogy');

%A5
T2=2*T;
over2=over*2;

%srsrc pulse and fourier transform
[phi, t] = srsrc_pulse(T2, over2, A, a);
Phi_F=fftshift(fft(phi,Nf))*Ts;
f_axis=[-0.5 : 1/Nf : 0.5-1/Nf];
F_axis = Fs*f_axis;

%create n random bits xn kai xd shma
b=(sign(randn(N,1))+1)/2;
xn=bits_to_2PAM(b);
xd=1/Ts*upsample(xn,over2);
td=0:Ts:N*T2-Ts;

%xt shhma kai fourier
xt=Ts*conv(xd,phi);
xf=fftshift(fft(xt,Nf))*Ts;
t_conv=[t(1)+td(1):Ts:t(end)+td(end)];

Ttotal = t_conv(end)-t_conv(1);
%px
px=(abs(xf).^2)/Ttotal;

P3=0;

for i=1:1:kk
    bb=(sign(randn(N,1))+1)/2;
    Xn=bits_to_2PAM(bb);
    Xd=1/Ts*upsample(Xn,over);
    Xt=Ts*conv(Xd,phi);
    Xf=fftshift(fft(Xt,Nf));
    XF=Xf*Ts;
    Px=(abs(XF).^2)/Ttotal;
    P3=P3+Px;
    if i==kk
        Pav3=P3/kk;
    end
end

Sx=((var(xn).^2)/T2)*(abs(Phi_F.^2));

numfig=numfig+1;
figure(numfig);
subplot(2,1,1);
semilogy(F_axis, Pav3);
title('A5a: Px(F) me semilogy');
subplot(2,1,2);
plot(F_axis, Pav3);
title('A5a Px(F) me plot');

numfig=numfig+1;
figure(numfig);
subplot(2,1,1);
plot(F_axis, Pav3);

```

```

hold on
plot(F_axis, Sx, 'r');
hold off
title('A5b: Sx(F) kai Px(F) me plot');

subplot(2,1,2);
semilogy(F_axis, Pav3);
hold on
semilogy(F_axis, Sx, 'r');
hold off
title('A5b: Sx(F) kai Px(F) me semilogy');

%B

T=0.001;
over=10;
A=4;
a=0.5;
Ts=T/over;
Fs=1/Ts;
k=1000;
Nf=16384;

[phi,t]=srrc_pulse(T, over, A, a);

f_axis=[-0.5:1/Nf:0.5-1/Nf];
F_axis=Fs*f_axis;
% Fourier Transform of Phi
xf = fftshift(fft(phi, Nf)*Ts);
Px=(abs(xf)).^2;

N=100;
b = (sign(randn(N, 1)) + 1)/2;
xn = bits_to_2PAM(b);
% Upsample X_2pam
Xd = (1/Ts) * upsample(xn , over);
Td = 0:Ts:N*T-Ts;
% The Sum is the convolution X and phi
Xt = conv(Xd ,phi)*Ts;
t_conv = Td (1)+t(1):Ts:Td(end)+t(end);

%500<f0<4500
f=1500;
thita = 2*pi*rand(1);
Y=Xt.*cos (2*pi*f*t_conv + thita);
% Plot Y(t)
numfig=numfig+1;
figure(numfig);
plot(t_conv ,Y);
hold on;
title('Y(t)');

hold off;
% Average Periodogram of Y(t)
PyF = 0;

```

```

for i=1:1:k
    % bit array
    b = (sign(randn(N, 1)) + 1)/2;
    % bit 2pam
    xn = bits_to_2PAM(b);
    Xd = (1/Ts) * upsample(xn , over);
    % X(t)
    Xt = conv(Xd ,phi)*Ts;
    % Generate theta
    thita = 2*pi*rand (1);
    % Y(t)
    Y = Xt.*cos (2*pi*f*t_conv + thita);
    Y = fftshift(fft(Y, Nf)*Ts);
    % Periodogram
    Ttotal= t_conv(end) - t_conv (1);
    PyF = PyF + (power(abs(Y) ,2)./ Ttotal);
end
PyF_ave = PyF ./k;

```

```

numfig=numfig+1;
figure(numfig);
subplot(2,1,1)
semilogy(F_axis ,PyF_ave);
title('P_Y(F) with semilogy');
xlabel('Frequency ');

```

```

subplot(2,1,2)
plot(F_axis ,PyF_ave);
title('P_Y(F) with plot');
xlabel('Frequency ');

```

## BITS TO 4PAM

```

function X = bits_to_4PAM(b)

    X=zeros(size(b));
    X(:,1) = [];

    for i=1:1:length(b)
        if b(i,1)==0 && b(i,2)==0
            X(i)=+3;
        end

        if b(i,1)==0 && b(i,2)==1
            X(i)=+1;
        end

        if b(i,1)==1 && b(i,2)==1
            X(i)=-1;
        end

        if b(i,1)==1 && b(i,2)==0
            X(i)=-3;
        end
    end

```



```
    end  
end
```